

(HUANJING KEXUE)

ENVIRONMENTAL SCIENCE



2015

中国科学院生态环境研究中心 主办

斜 学 出 版 社 出版



採 施 静 享 (HUANJING KEXUE)

ENVIRONMENTAL SCIENCE

第36卷 第9期 2015年9月15日

目 次

长江三角洲 PM _{2.5} 质量浓度遥感估算与时空分布特征 ·······················徐建辉,江洪(3119) 宁波市 PM _{2.5} 中碳组分的时空分布特征和二次有机碳估算 ····································
宁波市 PM,5中碳组分的时空分布特征和二次有机碳估算 ······
青岛大气中酸碱气体及 PM _{2.5} 中水溶性离子的浓度特征和气粒平衡关系 周佳佳,石金辉,李丽平,姚小红,高会旺(3135)
青岛大气中酸碱气体及 PM ₂₅ 中水溶性离子的浓度特征和气粒平衡关系 周佳佳,石金辉,李丽平,姚小红,高会旺(3135) 北京雾霾天大气颗粒物中微生物气溶胶的浓度及粒谱特征
·····································
2015 年春节北京市空气质量分析 程念亮,陈添,张大伟,李云婷,孙峰,魏强,刘嘉林,刘保献,孙瑞雯(3150)
上海市大气挥发性有机物化学消耗与臭氧生成的关系 王红丽(3159)
上海市大气挥发性有机物化学消耗与臭氧生成的关系
一种奉上 GULL 数1店的时 继系 a 依反 二.仅仅怕异保堂 ············
巢湖溶解性有机物时空分布规律及其影响因素 ····································
河北洨河溶解性有机物光谱学特性 虞敏达,张慧,何小松,檀文炳,张媛,马丽娜,席北斗,党秋玲,高如泰(3194)
东山岛地下水"三氮"空间分布特征 吴海燕, 傅世锋, 蔡晓琼, 汤坤贤, 曹超, 陈庆辉, 梁修雨(3203)
重庆典型岩溶区地下河中溶解态正构烷烃、脂肪酸来源、迁移及转化
全次兴生石福区地下将下部市场比较、加加坡水域、红沙及农民
硫酸对乌江中上游段岩溶水化学及 δ^{1} C _{DIC} 的影响····································
阆中市思依镇水化学特征及其成因分析 张艳,吴勇,杨军,孙厚云(3230)
东南沿海河流-水库系统藻类生长营养盐限制李节变动
水体氮磷當养盐水平与氯霉素浓度复合水体对苦草的生埋生化影响 胡珍珍,崔益斌,李梅,余静(3248)
浴澡活性物质对标囊澡浴澡及具脂肪酸影响的模拟 ····································
坡岸截留强化处埋设施在个问运行余件下对农业国源污染物去除效果 ············ 李怀止, 陈坷利, 危忠, 土卫则(3262)
坡岸截留强化处理设施在不同运行条件下对农业面源污染物去除效果
用水北姛升江口水件水泉(放)化泪每副广物广生行性与泪每上乙刈比 ····································
是氧-混凝交互作用对混凝效果的影响
吴丰·化炭、生作用为化炭、双木的影响
百侯小天氧化过程的尚 J 州侯敢益王风印影啊
们边及边料行业废水生物处理系统由的 Δ OV 污染研究 由洋洋 刘锐 徐灿灿 舒小纹 许江军 兰亚琼 陈吕军(3304)
印染及染料行业废水生物处理系统中的 AOX 污染研究 ······· 申洋洋,刘锐,徐灿灿,舒小铭,许江军,兰亚琼,陈吕军(3304) 螺旋霉素制药废水处理过程中耐药菌和抗性基因的转归特征 ········ 覃彩霞,佟娟,申佩弘,魏源送(3311) 两种膜生物反应器处理养猪沼液的比较研究 ····································
两种膜生物反应器外理差接沼涵的比较研究
农村污水膜生物反应器系统中微生物群落解析
四区—体反应器冬季启动脱氡特性及硝化菌群结构分析 张岩 孙凤侠 谢杭冀 陈敬 眭稀 廿志明 王修平 史扬(3339)
从亚硝酸环原厌氧氨氧化转变为硫酸盐则厌氧氨氧化
四区一体反应器冬季启动脱氮特性及硝化菌群结构分析 张岩,孙凤侠,谢杭冀,陈敬,眭稀,甘志明,王修平,史扬(3339) 从亚硝酸还原厌氧氨氧化转变为硫酸盐型厌氧氨氧化 刘正川,袁林江,周国标,李晶(3345) 提高有机负荷对好氧颗粒污泥形成与稳定过程的影响
党规施即条件下农田不同余经复麦提生的佰位研究 1714江由下游地区真王米季为例
「
厌氧条件下砂壤水稻土 N ₂ 、N ₂ O、NO、CO ₂ 和 CH ₄ 排放特征 ····································
·····································
黄土丘陵区不同有机碳背景下侵蚀坡面土壤呼吸特征············陈盖,许明祥,张亚锋,王超华,樊会敏,王闪闪(3383) 生物炭添加对半干旱地区土壤温室气体排放的影响····································
生物炭添加对半干旱地区土壤温室气体排放的影响 郭艳亮,王丹丹,郑纪勇,赵世伟,张兴昌(3393)
宁南山区林地土壤原位矿化过程中碳氮转化耦合特征 ····································
石漠化山地植被恢复过程土壤团聚体氮分布及与氮素矿化关系研究
一切,
江汉平原农田土壤有机碳分布与变化特点:以潜江市为例 ····· 土土竹, 肖和艾, 周淬, 重成立, 曷体达, 智池车, 吴金水(3422)
缙云山不同土地利用方式下土壤团聚体中活性有机碳分布特征 · · · · · · · 李睿,江长胜,郝庆菊(3429) 西北典型工矿型城市街道尘埃重金属污染的环境磁学响应 · · · · · · · · · · · · · · · · · · ·
四北典型工矿型城市街担至埃里金禺行聚的环境懺字啊应 []
カー カ
电极厂问题环境中里金属万印存证及八种健康茶路风险计划 ************************************
要鱼上对商具的吸附与解吸特征
要芙莉对石油污染 <u>护碱土壤微生物</u> 群菠与石油烃降解的影响
四北典型工矿型城市街道至英里金属污染的环境磁学响应
· 上海 · 大海
北京市北袖树生活垃圾填埋场产甲烷菌的群落结构和油萃却律
城市分散式粪便颗粒化有机肥用作叶菜肥的肥力及环境影响 吕文洲, 乔字祥, 余宁, 史荣华, 王光明(3501)
V ₂ O ₅ -WO ₂ /TiO ₃ 催化剂与活性炭混合降解气相二 應 英····································
基于出行服务的纯电动公交车节能减排效益分析
我国挥发性有机物定义和控制指标的探讨
V_2O_3 - WO_3 / TiO_2 催化剂与活性炭混合降解气相二 哌 英
《环境科学》征订启事(3297) 《环境科学》征稿简则(3303) 信息(3127,3202,3277,3318)

水氮组合模式对双季稻甲烷和氧化亚氮排放的影响

傅志强,龙攀,刘依依,钟娟,龙文飞

(湖南农业大学农学院,南方粮油作物协同创新中心,长沙 410128)

关键词:双季稻;间歇灌溉; CH4; N,O; 减排

中图分类号: X144 文献标识码: A 文章编号: 0250-3301(2015)09-3365-08 DOI: 10.13227/j. hjkx. 2015. 09. 032

Effects of Water and Nitrogenous Fertilizer Coupling on CH₄ and N₂O Emission from Double-Season Rice Paddy Field

FU Zhi-qiang, LONG Pan, LIU Yi-yi, ZHONG Juan, LONG Wen-fei

(Collaborative Innovation Center of Paddy Crop and Oil Crops in Southern, Agronomy College of Hunan Agricultural University, Changsha 410128, China)

Abstract: To provide support for the efficient use of water and fertilizer technology to double-season rice cultivation, water and fertilizer coupling mode was applied in this research, including two irrigation methods and four N levels. The irrigation methods were flood irrigation and intermittent irrigation, while four N levels were high-N, middle-N, low-N and none-N. Field experiment was conducted to study the effect of water and fertilizer coupling mode on CH_4 and N_2O emission. The results showed that the accumulated CH_4 emissions were significantly reduced by intermittent irrigation, in comparison with flood irrigation, the reduction in early rice season were from 13. 18 kg·hm⁻² to 87. 90 kg·hm⁻², and were from 74. 48 kg·hm⁻² to 131. 07 kg·hm⁻² in late rice season, with a rate of 24. 4% -67. 4% and 42. 5% -65. 5% respectively; whereas the accumulated N_2O emissions were increased, the increment were from 0.03 kg·hm⁻² to 0.24 kg·hm⁻² in early rice season and from 0.35 kg·hm⁻² to 1.53 kg·hm⁻² in late rice season when compared flood irrigation, increased by 6. 2% -18. 3% and 40. 2% -80. 9% respectively. On the whole, intermittent irrigation reduces the warming potential of greenhouse gases (GWP), which were decreased by 18. 8% to 58. 6% in early rice season and by 34. 4% to 60. 1% in late rice season, and the reduction of total GWP were from 2 388 to 4 151 kg·hm⁻² (CO_2 eq), with a rate of 41% -54%. Through correlation analysis it found that CH_4 emissions from soil were significantly related with soil solution Eh and solution CH_4 concentration. In comparison with the flood irrigation, the application of intermittent irrigation in double-season rice cultivation was conducive to CH_4 reduction, though the increase came in N_2O , but the GWPs were significantly reduced. Comprehensively, intermittent irrigation matching with middle-N is more benefit to double-season rice cultivation.

Key words: double-season rice; intermittent irrigation; CH₄; N₂O; emission reduction

稻田是大气甲烷(CH_4)和氧化亚氮(N_2O)排放的重要来源.据 IPCC 第四次评估报告,稻田 CH_4 年排放量为 31~112 Tg,占全球总排放量的 5%~19%;农业土壤 N_2O -N 年排放量为 1.7~4.8 Tg,占全球总排放的 10%~27% [1].中国稻田 CH_4 和 N_2O 年排放量分别为 6.02~7.67 Tg 和 88~169 $Gg^{[2\sim 6]}$,是大气温室气体的重要来源.水分管理和化肥施用是影响稻田 CH_4 和氮化亚氮产生与排放的两大重要因素 [7].目前已有许多关于水分管理对

稻田 CH_4 和 N_2O 排放影响的研究 $[8^{-10}]$,一般认为长期淹水管理使稻田土壤处于强厌氧条件下会促进 CH_4 的排放,但另一方面又会使 N_2O 易被还原成 N_2 减少 N_2O 的排放,使二者处于此消彼长的状态. 具体的管理措施对温室气体的影响需通过对二者进行

收稿日期: 2015-01-11; 修订日期: 2015-04-06

基金项目: 国 家 科 技 支 撑 计 划 项 目 (2013BAD11B02, 2011BAD16B01,2012BAD04B10,2013BAD07B11); 湖南 省科技厅支撑计划项目(2013SK3158)

作者简介: 傅志强(1968~),男,博士,副教授,主要研究方向为水稻栽培、稻田碳氮循环, E-mail: zqf_cis@126.com

综合评价得出结论. 此外,施肥所引起的气态氮的排放是温室气体的重要来源,也是造成氮肥损失和环境污染的直接原因之一,而土壤水分含量与分布密切影响土壤氮素的分布,显著影响 N_2O 的排放[11].

传统的"大水大肥"管理模式不仅造成了水肥 资源的浪费,利用率低,生产成本高,而且引起一系 列环境污染问题. 因此,开展水稻节水节肥技术研 究日益受到重视[12~15]. 研究表明水氮肥管理的氮 肥利用效率较常规施肥方法可提高 0.56~1.66 倍, 同时具有较高的根系活力、水稻根系重量及各种 酶[15]. 因地制宜合理施肥,增加土壤水库容量,提 高土壤水分的利用率,可实现以肥调水、以水定肥, 促进水肥耦合. 目前单纯研究水分管理或施肥技术 对水稻生长与产量的影响以及温室气体排放的文献 较多[16~20],然而针对具体的水肥耦合措施究竟水分 管理对温室气体的作用效果大还是施肥的作用更强 烈目前尚无充分研究,且针对双季稻主产区早晚两 季的研究并不多. 因此,本研究综合考虑水分和氮 肥两个因素构成水肥组合模式,通过对早晚稻季温 室气体排放的监测,分别探讨水分和施氮量对稻田 综合增温潜势的影响,以期为进一步研究水肥高效 利用调控技术与水肥一体化管理技术模式提供基础 依据.

1 材料与方法

1.1 试验地概况

试验于 2012 年在湖南长沙县干杉镇干杉村上大屋组试验基地 (28°08′18″ E,113°12′0″ N) 进行,海拔 42 m, 年平均温度为 17.1℃, 年降水量1 500 mm, 年 \geq 10℃ 积温 5 300 ~ 6 500℃, 为湖南典型的双季稻生产区. 稻田土壤类型为第四纪红壤发育而成的红黄泥土. 供试土壤理化性状为 pH 6.1, 有机碳 15.37 g·kg⁻¹, 全氮 1.55 g·kg⁻¹, 碱解氮 147 mg·kg⁻¹,有效磷 7.1 mg·kg⁻¹,速效钾 54 mg·kg⁻¹.

1.2 试验设计

早稻品种为'株两优 90',晚稻为'岳优 9113'. 试验采用裂区设计,随机区组排列,设灌溉模式(W)和施氮量(N)这 2 个因素组合,灌溉方式设 2 个水平,施肥因素设 4 个水平,以其中的不施氮为对照,共计 8 个组合处理,3 次重复. 早稻小区面积为 20 m²,3 月 29 日播种,4 月 29 日移栽,7 月 17 日收获. 大田栽插密度为 3.0 × 10⁵ 穴·hm²,株行距为 16.5 cm×20 cm,每穴插 2 苗;晚稻小区面积为 15

m²,6月23日播种,7月19日移栽,10月20日收获.大田栽插密度为2.5×10⁵穴·hm⁻²,株行距为20 cm×20 cm,每穴插2苗.每个小区之间筑埂并用塑料薄膜包埂,两边设保护行.其他管理措施与一般高产稻田相同.

1.2.1 灌水因素

淹水灌溉(W_1):大田自移栽返青后直至成熟前一周,稻田长期维持一定水层($3 \sim 5$ cm 水层);间歇灌溉(W_2):前期淹水灌溉,分蘖后期晒田,孕穗前回水后干湿交替灌溉,至收获前1周排水.

1.2.2 施肥因素

施肥处理共设不施 N、低、中、高这 4 个氮肥 水平,即早稻施纯 N:0、90、120、150 kg·hm $^{-2}$,晚 稻施纯 N:0、105、135、165 kg·hm $^{-2}$,分别记为 N0、N1、N2、N3. N 肥施用比例为基肥: 拔节: 孕穗 = 5:1:4,早稻拔节肥、孕穗肥分别于 5 月 25 日、6 月 8 日施入;晚稻拔节肥、孕穗肥分别于 8 月 2 日、8 月 17 日施入;钾肥(K_2O)施用量为 240 kg·hm $^{-2}$,磷肥(P_2O_5)用量为 120 kg·hm $^{-2}$,均作基肥一次性施用.

1.3 观测指标与方法

1.3.1 温室气体取样与测定

田间气体采样采用圆柱体静态箱技术.取样箱采用玻璃钢材料制成,箱体直径 55 cm,高 120 cm.底座于移栽后即垂直插入小区中部土壤中,插入深度 3~5 cm. 从移栽返青期开始每隔 5~7 d取样一次,直至收获. 采样时间为上午 09:00~11:00,每10 min 抽样一次,连续抽样 4次.取样时,将取样箱轻放在事先倒有浅水层的圆型框底座上,底座水槽内的水确保起到隔绝箱内外气体的作用. 样品 CH_4 和 N_2O 浓度采用湖南省土壤肥料研究所提供的气相色谱(Agilent7890A,美国)测定.

1.3.2 气体累积排放量与增温潜势的计算

稻田 CH_4 、 N_2O 排放通量计算公式为: $F = \rho \times h \times dc/dt \times 273/(273 + t)$,式中,F 为排放通量 $[mg \cdot (m^2 \cdot h)^{-1}]$; ρ 为气体在标准状态下的密度,其中 CH_4 为 0.714 kg·m⁻³, N_2O 为 1.98 kg·m⁻³; h 为采样箱高度(m); dc/dt 为采样过程中采样箱内 CH_4 、 N_2O 浓度变化率 $[CH_4:mg \cdot (m^2 \cdot h)^{-1}, N_2O:\mu g \cdot (m^2 \cdot h)^{-1}]$; t 为采样箱内平均温度 $(^{\circ}C)^{[21]}$. 排放累积排放量计算公式: $T = \sum (R_i \times D_i)$,式中, R_i 是指相邻两次测定的平均排放量, D_i 是指相邻两次测定相距天数 $[^{\circ}C)^{[22]}$. 排放通量均值为排放总量与天数的比值. 气体排放增温潜势(global

warming potential: GWP): 以 100 a 的时间尺度为标准, CH_4 和 N_2O 气体的 GWPs 计算系数分别为 25 和 $298^{[23]}$.

1.3.3 土壤溶液中 CH4 和 N2O 取样与浓度测定

稻田灌水前选择一个区组在每个小区将装有渗透管的 3 根 U 形 PVC 管架埋入土中,使渗透管置于土壤深度 5、10、15 cm 处,以采集各层土壤溶液,即将一个 10 mL 的真空试管与渗透管连接起来,当约有 5 mL 的土壤水溶液被吸进真空试管时,将真空试管与渗透管分开,并使真空试管中的气压与大气压平衡,然后将试管振荡 1 min,立即从试管上部取出 1 mL 空气,带回试验室用气相色谱仪测定 CH₄ 和 N₂O 浓度^[24]. 土壤溶液样品于每次气体采样结束后提取,即从移栽返青期开始,每隔 5~7 d 取一次.

1.3.4 土壤氧化还原电位(Eh)的测定

早稻选择一个区组,在每个小区将3个容积为200 mL的土壤溶液采样器分别埋入0~5、5~10和10~15 cm深处,收集上述3个深层土壤溶液;晚稻选择一个区组,在每个小区将1个容积为200 mL的土壤溶液采样器埋入7~13 cm深处,只收集7~13 cm处的土壤溶液,立即用便携式 Eh/pH 测定仪测定溶液的氧化还原电位(Eh)值.每次取样在采气

后进行,从移栽返青期开始每隔5~7d取样一次.

1.4 数据分析

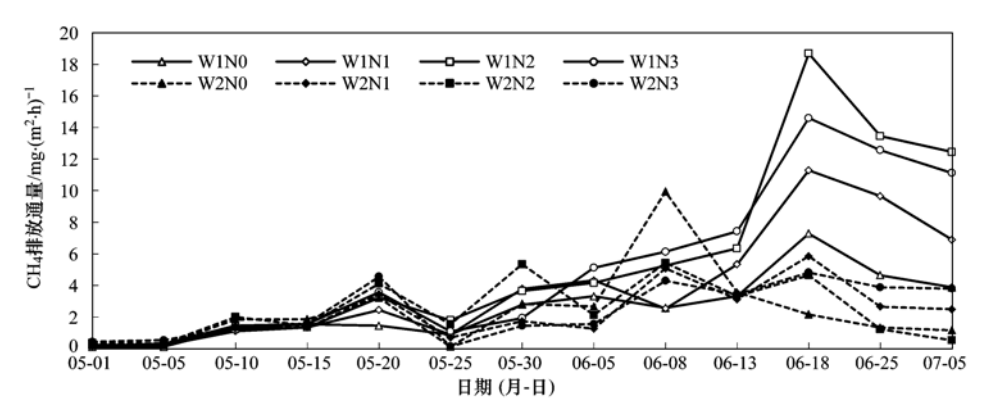
数据采用 Excel 2003 进行初步整理和分析,采用 DPS V3.01 软件进行统计分析. 多重比较采用新复极差法 (LSR 法). 相关系数显著性采用 t 检验法.

2 结果与分析

2.1 水肥组合模式对 CH₄ 和 N₂O 排放通量的影响

2.1.1 CH4 排放通量

早稻季, CH₄ 排放通量呈上升趋势(图 1). 在水稻生长前期,各处理 CH₄ 排放通量均处于较低状态,处理间无明显差异. 从 6 月中旬开始, CH₄ 排放通量迅速上升,处理间差异明显,其中淹水灌溉各处理的 CH₄ 排放通量明显高于间歇灌溉,尤其以淹水灌溉施中氮的 CH₄ 排放通量最高,达 18. 68 mg·(m²·h) $^{-1}$. 从早稻季 CH₄ 的平均排放通量来看各处理依次为: W2N0 < W2N2 < W2N1 < W2N3 < W1N0 < W1N1 < W1N3 < W1N2, 极差为 4. 79 mg·(m²·h) $^{-1}$. 总体上,早稻淹水灌溉的 CH₄ 排放通量比间歇灌溉高出 2. 81 mg·(m²·h) $^{-1}$,超出了53. 9%.



W1 代表淹水灌溉, W2 代表间歇灌溉; N0、N1、N2、N3 分别 代表不同的施 N 水平不施 N、低 N、中 N、高 N 这 4 种施 N 措施, 下同

图 1 早稻 CH4 排放通量动态变化

Fig. 1 Dynamic of CH₄ flux in the early rice season

对于晚稻季的 CH_4 排放通量来说,总体呈下降趋势(图 2). 随着晚稻生育进程的推进,两种灌溉模式的 CH_4 排放通量差异十分明显,淹水灌溉明显高于间歇灌溉. 不同的施氮量相比,淹水灌溉模式下以 W1N1 最高,平均达 9. $13 \text{ mg} \cdot (\text{m}^2 \cdot \text{h})^{-1}$; 从大到小排序依次为 W1N2、W1N3、W1N0,极差为 $1.51 \text{ mg} \cdot (\text{m}^2 \cdot \text{h})^{-1}$. 间歇灌溉模式下以 W2N3 最高,平均达 $4.66 \text{ mg} \cdot (\text{m}^2 \cdot \text{h})^{-1}$,其余依次为 W2N2、

W2N0、W2N1, 极差为 1.60 $\text{mg} \cdot (\text{m}^2 \cdot \text{h})^{-1}$. 总体上,晚稻季淹水灌溉的 CH_4 排放通量比间歇灌溉高出了 4.53 $\text{mg} \cdot (\text{m}^2 \cdot \text{h})^{-1}$,超出了 54.3%.

2.1.2 N₂O 排放通量

早稻季,各处理的 N_2O 排放通量在水稻生育前期整体较低,处理间差异不明显(图 3). 随着早稻生育进程的推进, N_2O 排放通量呈上升趋势,并在第二次追肥后达到峰值. 两种不同的灌溉方式相比,

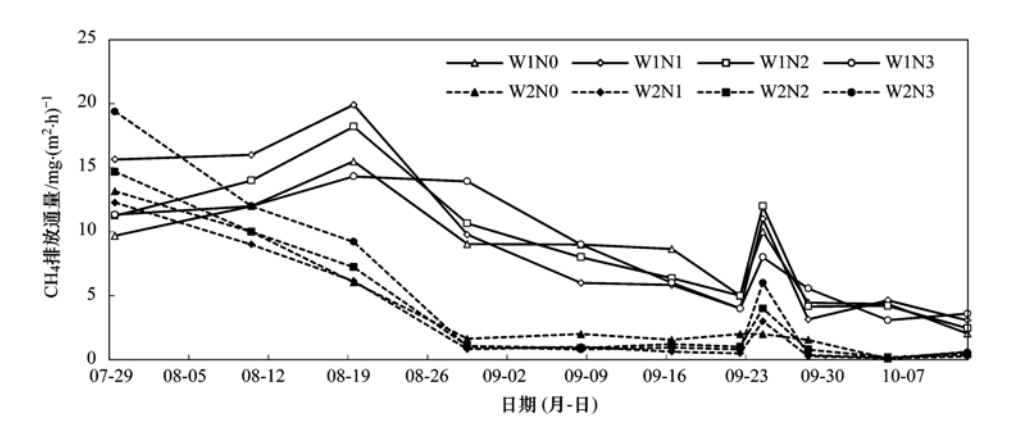


图 2 晚稻 CH4 排放通量动态变化

Fig. 2 Dynamic of CH₄ flux in the late rice season

间歇灌溉对追肥的响应要高于淹水灌溉,表明追施 N 肥的促排效果与灌溉方式密切相关. 总体上在同一施氮水平下,间歇灌溉各处理的 N₂O 排放通量总体要大于淹水灌溉;各处理中以间歇灌溉施中氮的排放通量最高,峰值达到 231.50 μg·(m²·h) ⁻¹, 平均达 55.78 μg·(m²·h) ⁻¹; 以淹水灌溉 不施氮最低,平均为 34.42

 $\mu g \cdot (m^2 \cdot h)^{-1}$, 二者相差 21.36 $\mu g \cdot (m^2 \cdot h)^{-1}$. 与淹水灌溉相比, 间歇灌溉使 N_2O 排放通量平均增加 7.12 $\mu g \cdot (m^2 \cdot h)^{-1}$.

从晚稻季的 N₂O 排放通量来看(图 4),总体与早稻季的相差不大.晚稻抽穗期前 N₂O 排放通量随生育期的推进呈上升趋势,抽穗以后则呈下降趋势.间歇灌溉模式下,以施中氮处理(W2N2)的排放通

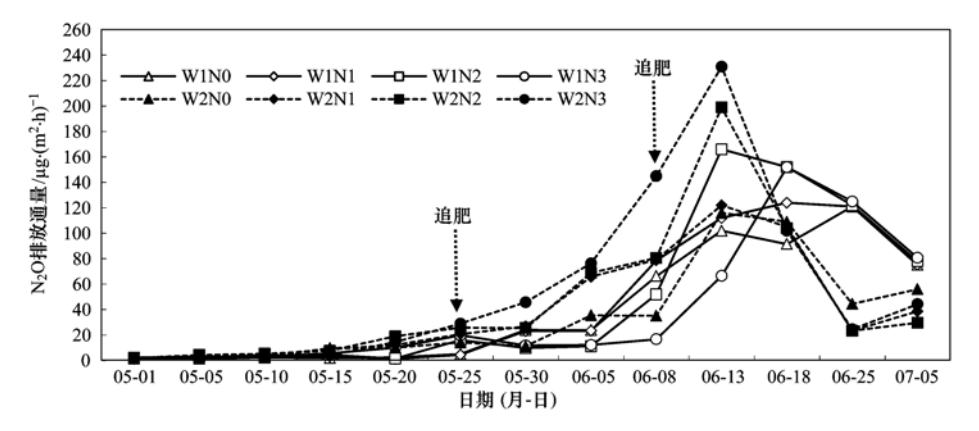


图 3 早稻 N,O 排放通量季节变化

Fig. 3 Seasonal variation of early rice season N2O emission flux

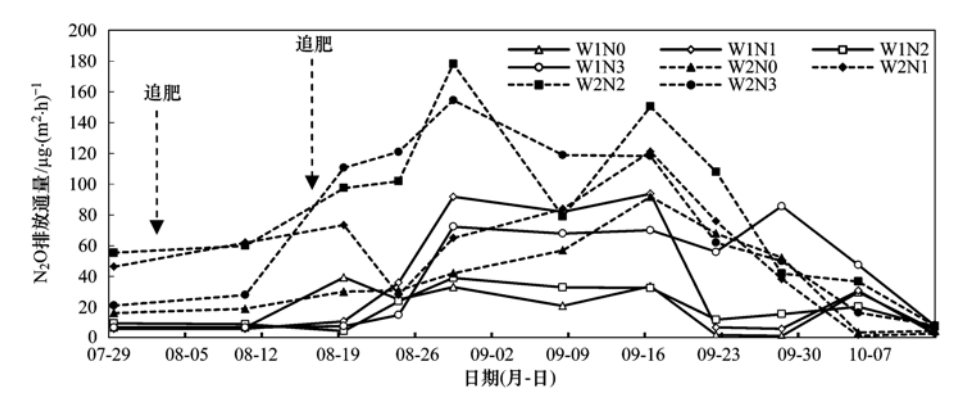


图 4 晚稻季 N_2O 排放通量季节变化

Fig. 4 Seasonal variation of late rice season N2O emission flux

量最高,平均排放通量达 87. 32 $\mu g \cdot (m^2 \cdot h)^{-1}$; 其次为施高氮处理(W2N3),平均排放通量为 77. 03 $\mu g \cdot (m^2 \cdot h)^{-1}$. 总体上,同一施氮水平下间歇灌溉各处理的 N_2O 排放通量仍高于淹水灌溉. 与淹水灌溉相比,间歇灌溉总体上使 N_2O 的平均排放通量增加 36. 91 $\mu g \cdot (m^2 \cdot h)^{-1}$.

2.2 水肥组合模式对 CH_4 和 N_2O 累积排放量和增温潜势的影响

由表 1 可知,早稻生长期间,各处理间 CH₄ 排放量差异极显著. 在相同的施氮水平下,早稻间歇灌溉 CH₄ 的积累排放量均要显著低于淹水灌溉,降低幅度为 13. 18 ~87. 90 kg·hm⁻²,减少了 24. 4% ~67. 4%. 晚稻期间,各处理间 CH₄ 排放量也存在极显著差异. 在相同的施氮水平下,晚稻间歇灌溉的 CH₄ 排放积累量同样显著低于淹水灌溉,降低幅度为 74. 48 ~ 131. 07 kg·hm⁻²,减少了 42. 5% ~66. 5%. 总体上,与淹水灌溉相比,间歇灌溉在早稻期间的 CH₄ 排放总量平均降低 52. 58 kg·hm⁻²,晚稻期间平均降低 97. 88 kg·hm⁻². 不同施氮水平相比,CH₄ 排放量总体随着施氮量的上升有一定的增加,但规律并不明显.

早稻期间,各处理间的 N_2O 累积排放量存在显著差异(表 1). 在相同的灌溉条件下,随着施氮量的增加, N_2O 排放积累量有增加的趋势. 在相同的施氮水平下,间歇灌溉条件下的 N_2O 排放累积量要高于淹水灌溉,增排量为 $0.03 \sim 0.24~{\rm kg \cdot hm^{-2}}$,增排幅度达 $6.2\%\sim18.3\%$. 晚稻期间,各处理间 N_2O

累积排放量仍存在显著性差异. 在相同的施氮水平下,间歇灌溉条件下的 N_2O 排放累积量均要显著高于淹水灌溉,增排幅度为 $0.35 \sim 1.53$ kg·hm⁻²,增排了 $40.2\% \sim 80.9\%$. 与淹水灌溉相比,间歇灌溉在早稻期间的 N_2O 排放总量增加 0.13 kg·hm⁻²,晚稻期间则增加了 1.42 kg·hm⁻².

晚稻排放的 CH4 与 N2O 增温潜势高于早稻(表 1). 早稻季各处理间的增温潜势相比较,以淹水灌 溉施中氮(W1N2)最高,以间歇灌溉不施氮(W2N0) 最低,相差2 259.7 kg·hm⁻²(以 CO, eq 计,下同), 各施氮处理均要高于不施氮处理. 相同灌溉条件 下,增温潜势随着施氮量增加而增加;相同的施氮 水平下,间歇灌溉均要低于淹水灌溉,总体降低了 308.6~2113.2 kg·hm⁻²,降幅为19.1%~59.2%. 晚稻期间,各处理增温潜势以淹水灌溉施低氮 (W1N1)最高,以间歇灌溉施低氮(W2N1)最低,两 者相差3 124.8 kg·hm⁻²; 在相同的施氮水平下,间 歇灌溉均要低于淹水灌溉,总体降低了1622.7~ 3 124.8 kg·hm⁻²,减少了 34.9%~60.6%. 从两季 综合的增温潜势来看,相同施氮量下间歇灌溉的增 温潜势比淹水灌溉降低 41%~54%, 其中以 W2N1 和 W2N2 的降低幅度最大, 两季综合下降4 151 kg·hm⁻²和4125 kg·hm⁻². 淹水灌溉下,施低氮增 温潜势比不施氮增加29%、施中氮增加39%、施高 氮增加35%;间歇灌溉下,与不施氮相比,施低氮的 综合增温潜势降低 1%、施中氮增加 16%、施高氮 增加33%.

表 1 早晚两季 CH_4 与 N_2O 排放总量与增温潜势 $^{1)}$

		早稻排放总量			晚稻排放总量	•		合计排放总量	1
处理	CH ₄ /kg·hm ⁻²	N_2O /kg·hm ⁻²	增温潜势 (CO ₂ eq) /kg·hm ⁻²	CH ₄ /kg·hm ⁻²	N_2O /kg·hm ⁻²	增温潜势 (CO ₂ eq) /kg·hm ⁻²	CH ₄ /kg·hm ⁻²	N_2O /kg·hm $^{-2}$	增温潜势 (CO ₂ eq) /kg·hm ⁻²
W1 N0	53. 96 d	0.91 с	1 619. 2	164.64 d	0.50 e	4 264. 0	218. 6d	1.41a	5 883. 2
W1 N1	86. 50 c	$1.00~\mathrm{bc}$	2 461. 4	197. 18 a	0.76 d	5 157. 0	$283.68\mathrm{c}$	1. 76a	7 618. 4
W1 N2	130. 49 a	$1.03~\mathrm{bc}$	3 569. 3	180.69 b	0.36 e	4 624. 4	311. 18a	1. 39a	8 193. 7
W1 N3	118.81 b	1.07 c	3 288. 1	175. 24 c	0.86 d	4 637. 3	294. 05b	1. 93a	7 925. 4
W2N0	40. 78 f	0.97 с	1 309. 6	77. 32 f	0.85 d	2 185. 3	118. 1g	1. 82a	3 494. 9
W2N1	45. 17ce	$1.03~\mathrm{be}$	1 435. 2	66. 11 g	1.27 c	2 032. 2	111. 28h	2. 3a	3 467. 4
W2 N2	42.59 ef	1.31 a	1 456. 2	82. 03 f	1.89 a	2 613. 0	124. 62f	3. 2a	4 069. 2

Table 1 Cumulative emissions and the warming potential of CH₄ and N₂O in early and late rice seasons

1) W1 代表淹水灌溉 Flooding irrigation, W2 代表间歇灌溉 Intermittent irrigation; N0、N1、N2、N3 分别代表不同的施 N 水平:不施 N、低 N、中 N、高 N 这 4 种施 N 措施;表中同一列不同小写、大写字母分别表示在 P < 0.05 和 P < 0.01 水平上差异达到显著

 $100.\,76~\mathrm{e}$

2.3 CH₄、N₂O排放与土壤溶液特性相关性

2.3.1 与土壤溶液 Eh 相关性

50. 91 d

W2N3

通过 CH₄、N₂O 排放通量与分蘖盛期、孕穗期

1 638. 4

和抽穗期土壤 Eh 的相关分析表明,土壤溶液 Eh 值与 CH₄ 排放能量呈负相关关系(表 2). 其中,早稻季土壤 5 cm 和 10 cm 处溶液 Eh 值与 CH₄ 排放通量

151.67e

3 014. 6

呈极显著负相关关系.

晚稻孕穗期,7~13 cm 处土壤溶液 Eh 值与 CH_4 排放通量呈负相关关系($R^2 = 0.5469, n = 8$), 经显著性检验,达到显著相关水平(P < 0.05); 在 抽穗期,土壤 $7 \sim 13$ cm 处溶液 Eh 值与 CH_4 排放通

量呈负相关($R^2 = 0.8379$, n = 8), 达到极显著相关水平(P < 0.01). 齐穗期土壤溶液 Eh 值与 CH₄ 排放通量也呈负相关, 但不显著. 而 N₂O 的排放通量与土壤的 Eh 值均无显著相关关系, 表明 N₂O 排放受土壤 Eh 影响不大.

表 2 土壤溶液 Eh 值与温室气体排放通量相关性¹⁾

T-11. 2	Correlation	. C El.	1		1	J				
Table 7.	Correlation	or r.n	vames	1n soi	i sommon	ana	greennouse	gas emi	ssion II	11X

土壤	EL 传	C	$H_4/mg \cdot (m^2 \cdot h)^{-1}$	$N_2O/\mu g \cdot (m^2 \cdot h)^{-1}$		
工場	En 但	r 值	拟合函数	r 值	拟合函数	
	5 cm 深层土壤	-0.9078**	y = -0.0324x + 0.2787(n = 24)	-0.2215	_	
早稻	10 cm 深层土壤	-0.6505 * *	y = -0.0345x - 0.9581(n = 24)	-0.2632	_	
	15 cm 深层土壤	-0.1953	_	-0.2442	_	
	孕穗期	-0.7396*	y = -0.1488x - 0.7729(n = 8)	0.0948	_	
晚稻7~13 cm 处	抽穗期	-0.9154**	y = -0.1179x + 1.8985 (n = 8)	-0.1586	_	
	齐穗期	-0.5632	_	0.1357	_	

1)表中数值为相关系数(r值),相关系数的显著性通过 F值检验,*和**分别表示在 P<0.05 和 P<0.01 水平下差异显著,下同

2.3.2 与土壤溶液中 CH₄ 和 N₂O 浓度相关性

通过相关分析发现 CH_4 排放通量与土壤溶液中 CH_4 浓度呈显著正相关关系, N_2O 排放通量则与土壤溶液中 N_2O 浓度无显著相关关系(表 3). 早稻季, 在分蘖盛期土壤 10 cm 处溶液中的 CH_4 浓度与 CH_4 排放通量呈显著相关($R^2=0.6689$, n=8, P<0.05);在拔节期, 二者达到极显著相关水平($R^2=0.8241$, n=8, P<0.01);到抽穗期, 二者仍具有显

著相关关系(R^2 = 0. 692 5, n = 8, P < 0. 05). 到晚稻季, 土壤7~13 cm 处溶液中 CH_4 浓度与 CH_4 排放通量在孕穗期、抽穗期和齐穗期均呈极显著相关(表3),可见土壤溶液中的 CH_4 是最后排放到大气的主要来源, 其浓度决定了 CH_4 的排放通量. 而 N_2O 排放通量虽与土壤溶液中的 N_2O 浓度表现为正相关, 但未达到显著水平, 表明土壤溶液中的 N_2O 浓度不是 N_2O 排放的决定因素.

表 3 土壤溶液温室气体浓度与排放通量相关性

Table 3 Correlation between soil solution concentrations of greenhouse gases and emission flux (sample size n=8)

土壤溶液温室气体浓度		Cl	$H_4/\text{mg} \cdot (\text{m}^2 \cdot \text{h})^{-1}$	$N_2 O/\mu g \cdot (m^2 \cdot h)^{-1}$		
		r 值	拟合函数	r 值	拟合函数	
	分蘖期	0.8178*	y = 0.157 3x - 3.981 2 (n = 8)	0.4927	_	
早稻 10 cm	拔节期	0.907 8 * *	y = 0.015x - 0.0847(n = 8)	0.4832	_	
	抽穗期	0.8322*	y = 0.0877x + 1.5905(n = 8)	0.5918	_	
	孕穗期	0.9883**	y = 0.0314x - 4.0329(n = 8)	0.0392	_	
晚稻7~13 cm	抽穗期	0.9309 * *	y = 0.003x + 1.9763 ($n = 8$)	0.1248	_	
	齐穗期	0.9686 * *	y = 0.003 4x - 1.3461(n = 8)	0.6351	_	

3 讨论

3.1 水氮组合模式对稻田 CH₄ 排放的影响

本研究结果表明与淹水灌溉相比,间歇灌溉显著降低了 CH₄ 的排放,这与前人研究结果一致^[8]. 许多研究表明 CH₄ 是极端厌氧条件下产 CH₄ 菌作用于产 CH₄ 基质的产物,受水分变化影响明显^[8]. 淹水稻田阻碍了空气流通,使土壤长期处于厌氧环境中,为产 CH₄ 细菌的生存提供了良好的条件,促进了 CH₄ 的产生与排放. 而相对于持续淹水,间歇灌溉因中期烤田,增加土壤通透性、提高土壤氧化还原电位,抑制了产 CH₄ 细菌活性,增强了 CH₄ 氧

化细菌氧化 CH₄ 的能力,从而大幅度降低稻田 CH₄ 排放^[25~27].另外,土壤氧化还原电位与土壤水分状况关系密切,稻田淹水后土壤 Eh 迅速下降,甲烷排放量也急剧增加^[28].这与本研究中 CH₄ 排放通量与土壤 Eh 呈显著负相关的结果一致.同时本研究得出,CH₄ 排放通量与土壤溶液中 CH₄ 浓度呈显著正相关关系.已有研究表明稻田生成的 CH₄ 一部分在排放前已被氧化消耗,排出稻田的 CH₄ 占生成量的 20%^[28].土壤溶液的 CH₄ 浓度越高,表明 CH₄ 的生成量也越高,导致排出稻田的 CH₄ 也越多,此结果与杨文燕等的研究相一致^[29].

关于氮肥施用对 CH₄ 排放的影响有不同的结

论^[20,30,31]. 本研究表明总体上 CH₄ 排放随着施氮量 的增加而增加,在未施氮肥的处理中,排放量明显较 少. 造成此结果的原因可能为:一是随着施氮量的 增加,水稻植株生长更加旺盛,促进了水稻根系的生 长,改善了根系通气状况^[32]. 土壤中的 CH₄ 向大气 排放通过三条途径实现,包括冒气泡、水中液相扩 散和水稻植株的通气组织,其中绝大部分是通过水 稻植株传输[33]. 因此,水稻根系通气组织的发达有 利于 CH4 的排放. 其次,植株的旺盛生长增加了根 系分泌物,为产 CH4 菌提供了充足的碳源和氮源, 提高产 CH4 菌的活性[8,32]. 另外有学者认为尿素可 以提高土壤 pH 值,大多数酸性壤中施入尿素后土 壤 pH 值变得有利于 CH₄ 形成^[34]. 也有研究认为 NH₄+N或产 NH₄ 的氮肥对 CH₄ 氧化具有抑制作 用,使之促进 CH4 排放[32]. 总之,氮肥是通过土壤 和植株间接影响 CH4 排放的.

3.2 水氮组合模式对稻田 N,O 排放的影响

水和肥是影响稻田 N₂O 排放两大主控因子. 水 分状况不仅影响稻田土壤中 N,O 的生成量,也极大 地影响着 N₂O 向大气传输^[28]. 本研究中与淹水灌 溉相比,间歇灌溉增加了 N,O 排放,尤其是晚稻季. N₂O 是土壤微生物硝化与反硝化作用的中间产物, 一般认为稻田土壤 N₂O 排放峰值出现在 75% ~ 85%的土壤孔隙含水率之间[35]. 当土壤孔隙含水 率在30%~70%时以硝化作用为主;当土壤孔隙含 水率高于60%时,土壤反硝化作用随水分含量增加 而迅速提高并占主导作用[36]. 许多研究表明大量 的 N,O 排放主要出现在土壤干湿交替阶段[8,28,37]. 土壤孔隙含水率过高时,空气传播受阻,N2O被进一 步还原成 N,,导致反硝化作用的产物以 N,为 主[28]. 因此稻田处于淹水状态时使土壤处于极端 还原状态反而降低 N,O 的排放,此结果也与其他研 究相一致^[9,38]. 在本研究中土壤溶液中 N,O 浓度与 N,O 排放通量呈正相关,但相关性并不显著. 这也 由于受到土壤水分条件的影响,土壤溶液中的部分 N,O 被还原成 N, 而不是直接排出稻田, 而本研究中 间歇灌溉的土壤水分状况处于不断变化中,使被还 原的土壤溶液 N,O 量也处于变化中. 本研究表明相 同的灌溉条件下,施氮处理较之不施氮增加了 N,O 的排放量,特别是在间歇灌溉条件下,N2O排放量随 施氮量增加而增加,这与代光照等[32]、徐华等[38]研 究结果一致. 本研究采用尿素作为氮肥,尿素进入 土壤后很快会水解成NH₄+-N,为硝化作用提供底

物,促进 NO_3 的形成进而促进反硝化作用,增加 N_2O 排放 $[^{28}]$. 尤其是在间歇灌溉条件下,土壤通透性增强,更能促进土壤硝化与反硝化细菌的活性,有 利于 N_2O 产生与排放.

3.3 双季稻田减排温室气体的水肥组合模式最优选择

如何提高水稻生产水资源利用效率,同时又减 少稻田 CH4 和 N2O 排放是发展低碳农业必须解决 的一个关键问题. 本研究表明与长期淹水灌溉相 比,间歇灌溉使 N₂O 的排放增加了 29% ~ 130%; 但相比间歇灌溉,淹水灌溉却增加了85%~155% 的 CH4 排放. 因此间歇灌溉虽然增排了 N,O,却减 少水稻全生育期 CH4 排放,使其综合增温潜势显著 减少. 其次,本研究结果表明虽然温室气体排放随 着施氮量的增加而增加,但就两季综合增温潜势来 看,灌溉模式对增温潜势的作用幅度在41%~ 54%,而施氮量对综合增温潜势的作用幅度在1% ~39%. 可见相比施氮量,灌溉模式对温室气体的 作用更加强烈. 在水稻生产中必须遵守的重要前提 是保障产量不受影响,同为间歇灌溉条件下,施中氮 的综合增温潜势虽比施低氮高,但其产量较高,同时 氮素利用率也要高于其他施氮水平,是增产不增排 的最优组合模式. 另外,南方双季稻区一般雨热同 期,且降雨集中在5~9月,这段时间也是水稻生长 需水量最大的季节,利用稻田蓄水及山塘水库等设 施蓄水,有利于间歇灌溉模式的推广应用. 综合来 看间歇灌溉施中氮是最适合在南方双季稻区推行的 模式.

4 结论

- (1)在相同的施氮水平下,间歇灌溉有利于减少 CH₄ 排放,但促进 N₂O 排放,最终有利于气体增温潜势的降低,减少温室效应,这种效果犹以晚稻季更为明显. 因而晚稻的间歇灌溉更有利于温室气体减排. 在相同的灌溉条件下,施氮越高,气体增温潜势越高.
- (2) CH_4 的排放与土壤溶液的氧化还原电位 (Eh)密切相关,且受土壤溶液中温室气体浓度的显著影响. N_2O 排放则与土壤溶液的氧化还原电位以及溶液中温室气体浓度无直接相关关系,其排放主要受施 N 量的影响. 施 N 量增加一定程度上促进 N_2O 的排放,但不影响 CH_4 的排放.

参考文献:

[1] IPCC. Climate change 2007: Couplings between changes in the

- climate system and Biogeochemistry [R/OL]. http://www.uwpcc.washington.edu/documents/PCC/si2007_summary.pdf, 2008-8-15.
- [2] 蔡祖聪. 中国稻田甲烷排放研究进展[J]. 土壤, 1999, (5): 266-269.
- [3] 黄耀, 张稳, 郑循华, 等. 基于模型和 GIS 技术的中国稻田 甲烷排放估计[J]. 生态学报, 2006, **26**(4): 980-988.
- [4] Yan X Y, Akimoto H, Ohara T. Estimation of nitrous oxide, nitric oxide and ammonia emissions from croplands in East, Southeast and South Asia[J]. Global Chang Biology, 2003, 9 (7): 1080-1096.
- [5] Xing G X. N₂O emission from cropland in China [J]. Nutrient Cycling in Agroecosystems, 1998, 52(2-3): 249-254.
- [6] Zou J W, Huang Y, Lu Y Y, et al. Direct emission factor for N₂O from rice-winter wheat rotation systems in southeast China [J]. Atmospheric Environment, 2005, 39(26): 4755-4765.
- [7] Cai Z C, Xing G X, Yan X Y, et al. Methane and nitrous oxide emissions from rice paddy fields as affected by nitrogen fertilisers and water management [J]. Plant and Soil, 1997, 196(1): 7-14.
- [8] 袁伟玲,曹凑贵,程建平,等. 间歇灌溉模式下稻田 CH_4 和 N_2O 排放及温室效应评估 [J]. 中国农业科学,2008,41 (12):4294-4300.
- [9] 彭世彰, 侯会静, 徐俊增, 等. 节水灌溉对稻田 N₂O 季节排放特征的影响[J]. 农业工程学报, 2011, **27**(8); 14-18.
- [10] 徐华,邢光熹,蔡祖聪,等. 土壤水分状况和质地对稻田 N₂O排放的影响[J]. 土壤学报,2000,37(4):499-505.
- [11] Han K, Zhang J T, Shangguan Y X, et al. Effects of water and nitrogen coupling on soil gaseous nitrogen emission under alternate irrigation & N placement [J]. Environmental Science, 2011, 32(6): 1557-1563.
- [12] Jiang Y, Wang L L, Yan X J, et al. Super rice cropping will enhance rice yield and reduce CH₄ emission: a case study in Nanjing, China[J]. Rice Science, 2013, 20(6): 427-433.
- [13] 吴家梅, 纪雄辉, 霍莲杰, 等. 稻田土壤氧化态有机碳组分变化及其与甲烷排放的关联性[J]. 生态学报, 2013, **33** (15): 4599-4607.
- [14] 齐玉春, 董云社, 章申. 农业微环境对土壤温室气体排放的 影响[J]. 生态农业研究, 2000, **8**(1): 45-48.
- [15] Ming H, Zhao Y H, Chen M C, et al. Methanogens in paddy rice soil [J]. Nutrient Cycling in Agroecosystems, 1997, 49 (1): 163-169.
- [16] 李香兰,马静,徐华,等.水分管理对水稻生长期 CH_4 和 N_2O 排放季节变化的影响[J].农业环境科学学报,2008,27(2):535-541.
- [17] 李茂柏,曹黎明,程灿,等. 水稻节水灌溉技术对甲烷排放 影响的研究进展[J]. 作物杂志,2010,(6):98-102.
- [18] 李香兰,徐华,蔡祖聪. 水分管理影响稻田氧化亚氮排放研究进展[J]. 土壤,2009,41(1):1-7.
- [19] 李琳, 胡立峰, 陈阜, 等. 长期不同施肥类型对稻田甲烷和氧化亚氮排放速率的影响[J]. 农业环境科学学报, 2006, 25(增刊); 707-710.

[20] 易琼, 逢玉万, 杨少海, 等. 施肥对稻田甲烷与氧化亚氮排放的影响[J]. 生态环境学报, 2013, 22(8): 1432-1437.

学

- [21] 傅志强,朱华武,陈灿,等. 水稻根系生物特性与稻田温室 气体排放相关性研究[J]. 农业环境科学学报,2012,30 (12):2416-2421.
- [22] Singh S, Singh J S, Kashyap A K. Methane flux from irrigated rice fields in relation to crop growth and N fertilization [J]. Soil Biology and Biochemistry, 1999, 31(9): 1219-1228.
- [23] IPCC. Climate change 2007: The physical science basis [A]. In: Solomon S, Qin D, Manning M, et al (Eds.). Contribution of Working Group I to the Fourth Assessment Report of the Intergovernmental Panel on Climate Change, 2007 [M]. Cambridge: Cambridge University Press, 2007.
- [24] 傅志强,朱华武,陈灿,等. 晚稻根际土壤特性对 CH₄ 和 N₂O 排放的影响[J]. 热带作物学报,2012,**33**(1):5-10.
- [25] 徐华, 蔡祖聪, 李小平. 烤田对种稻土壤甲烷排放的影响 [J]. 土壤学报, 2000, 37(1): 69-76.
- [26] 曹金留,任立涛,陈国庆,等.水稻田烤田期间甲烷排放规律研究[J].农村生态环境,1998,14(4):1-4.
- [27] 李香兰,徐华,曹金留,等. 水分管理对水稻生长期 CH₄ 排放的影响[J]. 土壤, 2007, **39**(2): 238-242.
- [28] 田光明,何云峰,李勇先. 水肥管理对稻田土壤甲烷和氧化亚氮排放的影响[J]. 土壤与环境,2002,11(3):294-298.
- [29] 杨文燕,宋长春,张金波. 沼泽湿地孔隙水中溶解有机碳、 氮浓度季节动态及与甲烷排放的关系 [J]. 环境科学学报, 2006, **26**(10): 1745-1750.
- [30] 石英尧, 石扬娟, 申广勒, 等. 氮肥施用量和节水灌溉对稻田甲烷排放量的影响[J]. 安徽农业科学, 2007, **35**(2): 471-472.
- [31] 焦燕,黄耀,宗良纲,等. 氮肥水平对不同土壤 CH₄ 排放的 影响[J]. 环境科学, 2005, **26**(3): 21-24.
- [32] 代光照,李成芳,曹凑贵,等. 免耕施肥对稻田甲烷与氧化亚氮排放及其温室效应的影响[J]. 应用生态学报,2009,20(9):2166-2172.
- [33] 上官行健, 王明星, 陈德章, 等. 稻田 CH₄ 的传输[J]. 地球科学进展, 1993, **8**(5): 13-22.
- [34] Wang Z P, Ronald D D, Lindau C W, et al. Methane production from anaerobic soil amended with rice straw and nitrogen fertilizers [J]. Fertilizer Research, 1992, 33(2): 115-121.
- [35] 彭世彰, 侯会静, 徐俊增, 等. 稻田 $\mathrm{CH_4}$ 和 $\mathrm{N_20}$ 综合排放对控制灌溉的响应 [J]. 农业工程学报, 2012, **28**(13): 121-126.
- [36] Meng L, Ding W X, Cai Z C. Long-term application of organic manure and nitrogen fertilizer on N_2O emissions, soil quality and crop production in a sandy loam soil [J]. Soil Biology & Biochemistry, 2005, 37(11); 2037-2045.
- [37] 康新立,华银锋,田光明,等.土壤水分管理对甲烷和氧化亚氮排放的影响[J].中国环境管理干部学院学报,2013,23(2);43-46.
- [38] 徐华,邢光熹,蔡祖聪,等. 土壤水分状况和氮肥施用及品种对稻田 N_2O 排放的影响[J]. 应用生态学报,1999, $\mathbf{10}(2)$: 186-188.

HUANJING KEXUE

Environmental Science (monthly)

Vol. 36 No. 9 Sep. 15, 2015

CONTENTS

Estimation of PM _{2.5} Concentration over the Yangtze Delta Using Remote Sensing: Analysis of Spatial and Temporal Variations	
Seasonal and Spatial Variations of Carbon Fractions in PM _{2.5} in Ningbo and the Estimation of Secondary Organic Carbon	
Concentrations of Acidic Gases, Ammonia and Related Water-Soluble Ions in PM _{2,5} and Gas-Particle Partitioning in Qingdao ···	
Concentration and Particle Size Distribution of Microbiological Aerosol During Haze Days in Beijing	HU Ling-fei, ZHANG Ke, WANG Hong-bao, et al. (3144)
Air Quality Characteristics in Beijing During Spring Festival in 2015	
Chemical Loss of Volatile Organic Compounds and Its Impact on the Formation of Ozone in Shanghai	
Removal of Waste Gas Containing Mixed Chlorinated Hydrocarbons by the Biotrickling Filter	
A Three Band Chlorophyll-a Concentration Estimation Model Based on GOCI Imagery	
Temporal and Spatial Distribution Characteristics of Dissolved Organic Matter and Influencing Factors in Lake Chaohu	
Spectral Characteristic of Dissolved Organic Matter in Xiaohe River, Hebei	
Spatial Variation of Ammonia-N, Nitrate-N and Nitrite-N in Groundwater of Dongshan Island	
Sources, Migration and Conversion of Dissolved Alkanes, Dissolved Fatty Acids in a Karst Underground River Water, in Chongg	ning Area
	LIANG Zuo-bing, SUN Yu-chuan, WANG Zun-bo, et al. (3212)
Influence of Sulfuric Acid to Karst Hydrochemical and $\delta^{13}C_{DIC}$ in the Upper and Middle Reaches of the Wujiang River	
Hydrochemical Characteristic and Reasoning Analysis in Siyi Town, Langzhong City	
Seasonal Variation on Nutrient Limitation for Phytoplankton Growth in a Coastal River-Reservoir System, Southeast China	
Physiological Effect of Vallisneria natans Under Different Concentrations of Nitrogen, Phosphorus and Chloramphenicol	
Effects of Algicidal Substance on Phaeocystis globosa and Its Fatty Acids by the Simulation Experiment	
Agricultural Non-Point Source Pollutants Removal by Enhanced Riverbank Interception Facilities Under Different Operating Condi	
Speciation Distribution and Risk Assessment of Heavy Metals in Typical Material Roof Dusts	
Formation of Disinfection By-Products During Chlor(am) ination of Danjiangkou Reservoir Water and Comparison of Disinfection	
Total and the Desire of the Company	······ ZHANG Min-sheng XII Bin ZHANG Tian-yang et al. (3278)
Effects of Interaction of Ozonation and Coagulation on Coagulation Results	
Effects of Anions on Bromate Formation During Ozonation of Bromide-Containing Water	
XAS Analysis upon Dissolved Species of Orpiment in Anoxic Environment	
AOX Pollution in Wastewater Treatment Process of Dyeing and Dyestuff Chemical Industries	
Fate of ARB and ARGs During Wastewater Treatment Process of Spiramycin Production	
A Comparative Study on Two Membrane Bioreactors for the Treatment of Digested Piggery Wastewater	
Analysis of Microbial Community in the Membrane Bio-Reactor (MBR) Rural Sewage Treatment System	
Start-up Characteristics of Four-zone Integrated Reactor for Nitrogen Removal in Winter and Analysis of Nitrobacteria Community	
Achievement of Sulfate-Reducing Anaerobic Ammonium Oxidation Reactor Started with Nitrate-Reducing Anaerobic Ammonium Oxidation Reactor Started Nitrate-Reducing Nitrate	
Achievement of Sunate-Aeducing Anaerobic Ammontum Oxidation Reactor Started with Nitrate-Aeducing Anaerobic Ammontum C	UNIGATION LITT Thomas charan VIIAN Lin Hone ZHOU Cue kies at al. (2245)
Effect of Increasing Organic Loading Rate on the Formation and Stabilization Process of Aerobic Granular Sludge	
Nitrogen Loss Through Different Ways in Cropland Under Conventional Fertilization: An In-situ Study of Summer Maize Season in	n the middle and Lower Reaches of the Tangize River
Effects of Water and Nitrogenous Fertilizer Coupling on CH ₄ and N ₇ O Emission from Double-Season Rice Paddy Field	
Characteristics of N ₂ , N ₂ O, NO, CO ₂ and CH ₄ Emissions in Anaerobic Condition from Sandy Loam Paddy Soil	
Characteristics of Soil Respiration along Eroded Sloping Land with Different SOC Background on the Hilly Loess Plateau	
Effect of Biochar on Soil Greenhouse Gas Emissions in Semi-arid Region	
Characteristics and Coupling Relationship of Soil Carbon and Nitrogen Transformation During In-situ Mineralization Cultivation in	rorestiands in the mountain Area of Southern Ningxia
Nitrogen Fraction Distributions and Impacts on Soil Nitrogen Mineralization in Different Vegetation Restorations of Karst Rocky D	resemination
Distribution and Dynamics of Cropland Soil Organic Carbon in Jianghan Plain; A Case Study of Qianjiang City	
Impact of Land Utilization Pattern on Distributing Characters of Labile Organic Carbon in Soil Aggregates in Jinyun Mountain Magnetic Responses of Heavy Metals in Street Dust of Typical Mine-Based City, Northwest China	
Distribution Characteristics of Heavy Metals in Environmental Samples Around Electroplating Factories and the Health Risk Asses	ssment CUO D. LELV. : (7HOLLO: 1: / (2447)
Homologues Levels and Distribution Pattern of Polychlorinated Biphenyls in Typical Capacitor Contaminated Soil Adsorption and Desorption Characteristics of Endosulfan in Purple Soil	
·	
Influence of Mirabilis jalapa Linn. Growth on the Microbial Community and Petroleum Hydrocarbon Degradation in Petroleum Co	ontaminated Saline-alkali Soil
Al ^{3 +} Absorption and Assimilation by Four Ectomycorrhizal Fungi	
Contamination of Organophosphorus Pesticides Residue in Fresh Vegetables and Related Health Risk Assessment in Changehun,	
Community Structure and Succession of Methanogens in Beishenshu Landfill, Beijing	
Fertility and Environmental Impacts of Urban Scattered Human Feces Used as Organic Granular Fertilizer for Leaf Vegetables	LU Wen-zhou, QIAO Yu-xiang, YU Ning, et al. (3501)
Degradation of PCDD/Fs by the Mixture of V ₂ O ₅ -WO ₃ /TiO ₂ Catalyst and Activated Carbon	REN Yong, JI Sha-sha, YU Ming-feng, et al. (3508)
Energy Conservation and Emissions Reduction Benefits Analysis for Battery Electric Buses Based on Travel Services	

《环境科学》第6届编辑委员会

主 编:欧阳自远

副主编:赵景柱 郝吉明 田 刚

编 委:(按姓氏笔画排序)

万国江 王华聪 王凯军 王绪绪 田 刚 田 静 史培军

朱永官 刘志培 刘 毅 汤鸿霄 孟 伟 周宗灿 林金明

欧阳自远 赵景柱 姜 林 郝郑平 郝吉明 聂永丰 黄 霞

黄耀 鲍强潘纲潘涛魏复盛

环维种草

(HUANJING KEXUE)

(月刊 1976年8月创刊)

2015年9月15日 第36卷 第9期

ENVIRONMENTAL SCIENCE

(Monthly Started in 1976)

Vol. 36 No. 9 Sep. 15, 2015

		<u>, , , , , , , , , , , , , , , , , , , </u>			
主	管	中国科学院	Superintended	by	Chinese Academy of Sciences
主	办	中国科学院生态环境研究中心	Sponsored	by	Research Center for Eco-Environmental Sciences, Chinese
协	办	(以参加先后为序)			Academy of Sciences
		北京市环境保护科学研究院	Co-Sponsored	by	Beijing Municipal Research Institute of Environmental
		清华大学环境学院			Protection
主	编	欧阳自远			School of Environment, Tsinghua University
编	辑	《环境科学》编辑委员会	Editor-in -Chief		OUYANG Zi-yuan
>m	7-4	北京市 2871 信箱(海淀区双清路	Edited	by	The Editorial Board of Environmental Science (HUANJING
		18号,邮政编码:100085)			KEXUE)
		电话:010-62941102,010-62849343			P. O. Box 2871, Beijing 100085, China
		传真:010-62849343			Tel:010-62941102,010-62849343; Fax:010-62849343
		E-mail:hjkx@ rcees. ac. cn			E-mail; hjkx@ rcees. ac. cn
		http://www.hjkx.ac.cn			http://www. hjkx. ac. en
出	版	4 学业版社	Published	by	Science Press
_	,	北京东黄城根北街 16 号			16 Donghuangchenggen North Street,
		邮政编码:100717			Beijing 100717, China
印刷装	も订	北京北林印刷厂	Printed	by	Beijing Bei Lin Printing House
发	行	斜华出版社	Distributed	by	Science Press
		电话:010-64017032			Tel:010-64017032
		E-mail:journal@mail.sciencep.com			E-mail:journal@mail.sciencep.com
订购	处	全国各地邮电局	Domestic		All Local Post Offices in China
国外总统	发行	中国国际图书贸易总公司	Foreign		China International Book Trading Corporation (Guoji
		(北京 399 信箱)			Shudian), P. O. Box 399, Beijing 100044, China

中国标准刊号: ISSN 0250-3301 CN 11-1895/X

国内邮发代号: 2-821

国内定价:120.00元

国外发行代号: M 205

国内外公开发行